

УДК 535.343.2/3:548.0:536.421.1

©1994

ЭКСИТОН-ФОНОННОЕ ВЗАИМОДЕЙСТВИЕ В НАНОКРИСТАЛЛАХ CuCl В СТЕКЛЕ

П.М. Валов, Л.В. Грачева, В.И. Лейман, Т.А. Цеговорова

Изучены спектры фундаментального поглощения нанокристаллов хлорида меди размером 1,6–10,6 нм в матрице стекла в области температур 90–680 К. Определены параметры температурного сдвига полос поглощения $Z_{1,2}$ - и Z_3 -эксситонов для кристаллов размером $\bar{a} = 10,6$ и 2,6 нм. Обнаружены узловые точки при некоторой энергии ϵ_0 в температурных зависимостях спектров поглощения $Z_{1,2}$ -эксситонов в CuCl и их смещение к высоким энергиям при уменьшении размера кристалла. Определены параметры в соотношении Урбаха, описывающем длинноволновый спад поглощения $Z_{1,2}$ -эксситона. Показано совпадение энергии конвергенции E_0 -параметра в правиле Урбаха и положения узловой точки ϵ_0 в нанокристаллах CuCl разного размера. Показано проявление квантового размерного эффекта в изменении ϵ_0 и вычислена эффективная масса $Z_{1,2}$ -эксситона. Обнаружено усиление эксситон-фононного взаимодействия при уменьшении размера кристалла CuCl: по изменению коэффициента температурного сдвига полос поглощения эксситонов и по изменению константы σ в соотношении Урбаха, связанному с силой эксситон-фононного взаимодействия. Сделано предположение, что узловая точка ϵ_0 и энергия конвергенции E_0 в правиле Урбаха для нанокристаллов CuCl определяют положение дна эксситонной зоны $Z_{1,2}$ -эксситона в области высоких температур.

Полупроводниковые кристаллы сверхмалых размеров (до 20 нм — нанокристаллы, распределенные в стеклянной матрице, — представляют значительный интерес для физики твердого тела вследствие проявления в них размерных эффектов [1–5]. В активированных нанокристаллах галогенидов меди в стекле наблюдаются фотолиз [6] и эффекты оптической сенсибилизации [7,8]. Фотохромные стекла на основе светочувствительных кристаллов CuHal размером 10 нм и более находят все более широкое техническое применение [6,9].

При описании микромеханизма фотолиза и других явлений нанокристаллов в CuHal в стекле необходимо учитывать возможное участие эксситонов. Как показано в монографии [10] на примере широкозонных диэлектриков, роль эксситонных механизмов в миграции энергии, образовании собственных дефектов и центров окраски может быть определяющей и зависит от фактора эксситон-фононного взаимодействия (ЭФВ) в данном кристалле.

Проблеме проявления ЭФВ в спектрах эксситонного поглощения и в их температурных изменениях посвящено большое количество теоретических [11–19] и экспериментальных [20–26] работ, в том числе в CuHal-монокристаллах [22–26]. При слабом ЭФВ полоса поглощения эксситона описывается контуром Лоренца с асимметрией в сторону

больших энергий, а при сильном ЭФВ полоса становится симметричной и может быть описана контуром Гаусса [11,16–19]. При изменении температуры максимум полосы экситонного поглощения может смещаться как в сторону меньших, так и в сторону больших энергий в зависимости от знака эффективной массы экситона и механизма ЭФВ (квадратичного или линейного).

Особый интерес в проблеме ЭФВ представляют исследования длинноволнового спада оптического поглощения в кристаллах, который в большинстве случаев хорошо описывается правилом Урбаха [11–19]. Анализ температурной зависимости спектров поглощения в этой области позволяет определить константу ЭФВ и сделать заключение о свойствах экситонов. Следует отметить, что исследование спектров поглощения нанокристаллов в стеклянной матрице дает дополнительные экспериментальные возможности по сравнению с макрокристаллами, так как позволяет детально исследовать поглощение в области переходов зона–зона, где коэффициент поглощения 10^5 см^{-1} и более.

Настоящая работа посвящена исследованию спектров в области края фундаментального поглощения нанокристаллов хлорида меди в области температур 90–680 К, где наиболее ярко в спектрах проявляется влияние ЭФВ и размерного эффекта. Детальные температурные исследования проведены на двух образцах стекла со средними размерами кристаллов 10.6 и 2.6 nm, существенно отличающихся по положению уровней экситона вследствие квантового размерного эффекта. Длинноволновый «хвост» поглощения экситонов изучался в более широком диапазоне размеров нанокристаллов CuCl.

1. Экспериментальные результаты

1) Температурные изменения спектров фундаментального поглощения нанокристаллов CuCl. Объектами исследований являлись алюмобороシリкатные стекла, содержащие нанокристаллы хлорида меди. Стекла были синтезированы при температуре 1450°C. Режим термоотжига в интервале 500–700°C позволял в широких пределах изменять средний размер нанокристаллов CuCl в стекле [27]. Измерения проводились на образцах со средним размером \bar{a} фазы CuCl от 1.6 до 10.6 nm. Использовались образцы в виде плоскопараллельных пластин толщиной 0.13–1 mm. На тонких образцах можно было измерять спектры в области сильного поглощения $Z_{1,2}$ -экситона и переходов зона–зона. На толстых образцах проводились измерения в области длинноволнового «хвоста» экситонного поглощения. Образцы помещались в азотный криостат с регулируемой температурой в пределах 90–680 К. Специальной конструкцией кристаллодержателя достигалось уменьшение градиента температур между центром измерительного пятна на образце и подложкой, возникающего в случае большого размера окна кристаллодержателя и малой толщины образца. Малая теплопроводность стекла в этом случае может создать градиент температур до нескольких десятков градусов. Спектры поглощения измерялись на автоматизированном спектрофотометрическом комплексе, управляемом системой КАМАК, и обрабатывались на ЭВМ.

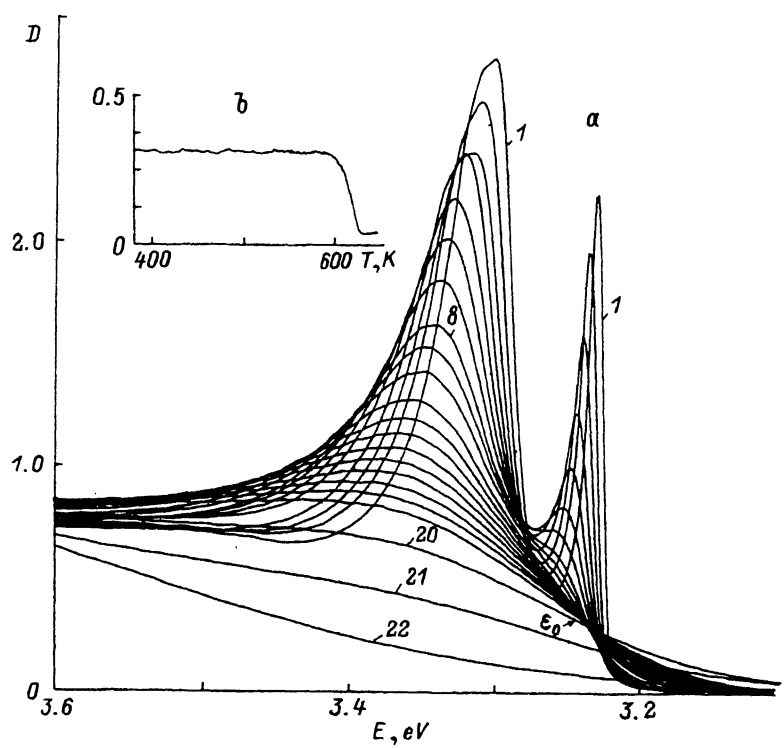


Рис. 1. Температурные изменения в спектрах фундаментального поглощения CuCl в стекле с размером кристаллов $\bar{a} = 10.6 \text{ nm}$ (а) и зависимость поглощения D от температуры при $E = \epsilon_0 = 3.242 \text{ eV}$ (б).

T (К): 90 (1), 297 (8), 646 (22). Средний температурный шаг между кривыми 24 К. Толщина образца стекла 0.13 mm.

На рис. 1, а и 2 представлены спектры фундаментального поглощения нанокристаллов CuCl в стекле с $\bar{a} = 10.6$ и 2.6 nm ,¹ измеренные при разных температурах. Начиная с $T = 90 \text{ K}$ (кривые 1 на рис. 1, а и 2) температура поднималась со средним шагом 24 К. Предельная температура соответствовала расплавленному состоянию фазы хлорида меди соответствующего размера [27]. В нашем случае — это 646 К для нанокристаллов с $\bar{a} = 10.6 \text{ nm}$ и 547 К для нанокристаллов с $\bar{a} = 2.6 \text{ nm}$. При температуре 90 К (кривые 1 на рис. 1, а и 2) в спектре поглощения обоих образцов проявляются две полосы, связанные с поглощением $Z_{1,2}$ - и Z_3 -экситонов в кристалле CuCl ^[1, 22]. Для нанокристаллов большего размера ($\bar{a} = 10.6 \text{ nm}$) максимумы E_m полос поглощения² $Z_{1,2}$ - и Z_3 -экситонов расположены соответственно при $E_m = 3.299$ и 3.232 eV . Полоса поглощения Z_3 -экситона более узкая, чем $Z_{1,2}$ -экситона. Форма полос асимметрична (полосы «вытянуты» в сторону больших энергий)

¹ Средние размеры кристаллической фазы CuCl в стекле определены методом малоуглового рассеяния рентгеновских лучей [27].

² Положение максимума полос поглощения определялось по второй производной от спектра поглощения.

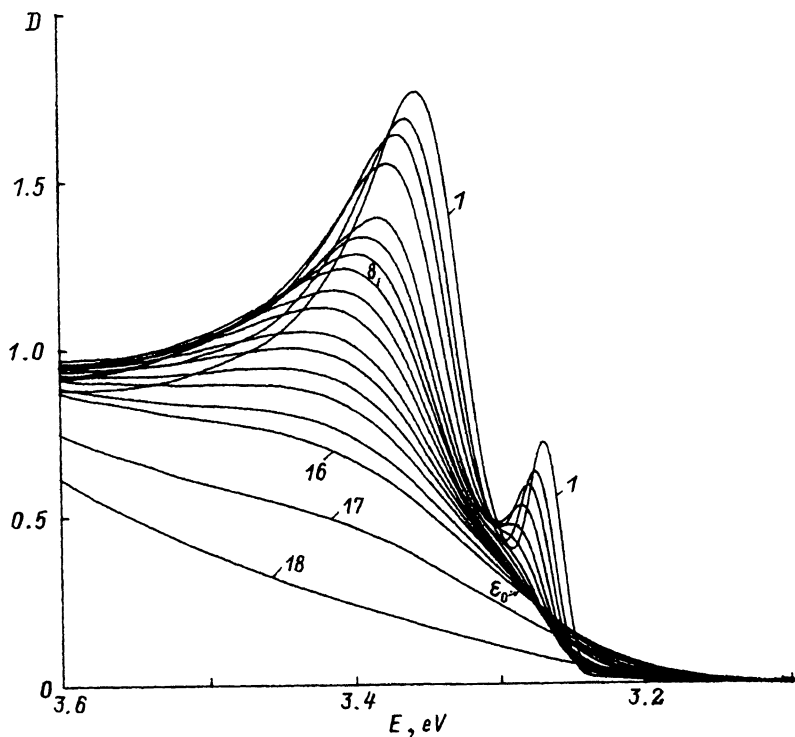


Рис. 2. Температурные изменения в спектрах фундаментального поглощения CuCl в стекле с размером кристаллов $\bar{a} = 2.6$ нм при $\varepsilon_0 = 3.282$ еВ.
 T (К): 90 (1), 297 (8), 547 (18). Средний температурный шаг между кривыми 24 К.
 Толщина образца стекла 0.13 mm.

гий). Полуширина полос поглощения $Z_{1,2}$ - и Z_3 -экситонов составляет соответственно $\Gamma_{1,2} = 0.053$ и $\Gamma_3 = 0.012$ еВ.

У нанокристаллов CuCl меньшего размера (рис. 2) максимумы полос поглощения $Z_{1,2}$ - и Z_3 -экситонов при 90 К сдвинуты в коротковолновую область в результате квантового размерного эффекта [1,2]. Энергии, соответствующие этим максимумам при $T = 90$ К, равны 3.342 еВ для $Z_{1,2}$ -экситона и 3.267 еВ для Z_3 -экситона. При этом полуширина полос увеличилась по сравнению с полушириной этих же полос у нанокристаллов большего размера. Это может быть связано с увеличением дисперсии по размеру у меньших кристаллов, что приводит к дисперсии энергии экситонов из-за квантового размерного эффекта.

При повышении температуры происходит ряд спектральных изменений в спектрах поглощения нанокристаллов CuCl, связанных с ЭФВ: сдвиг в коротковолновую область и уширение полос поглощения $Z_{1,2}$ - и Z_3 -экситонов, постепенное «исчезновение» полосы поглощения Z_3 -экситона и появление вслед за этим (при $T > 300$ К) в спектрах поглощения «узловой» точки при энергии ε_0 , где величина поглощения остается неизменной вплоть до температуры плавления нанокристалла! На рис. 1,б показана температурная зависимость поглощения нанокри-

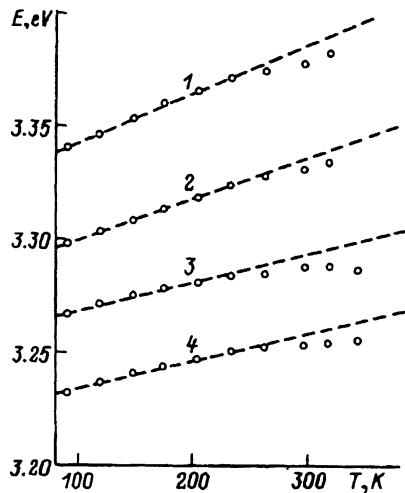


Рис. 3. Температурный ход изменения спектрального положения максимумов полос $Z_{1,2}$ - и Z_3 -экзитонов (3,4) для CuCl с размером кристаллов $\bar{a} = 10.6$ и 2.6 нм соответственно (из данных рис. 1, 2).

$$dE_m/dT = 2.3 \cdot 10^{-4} \quad (1), \quad 1.6 \cdot 10^{-4} \quad (2), \quad 1.3 \cdot 10^{-4} \quad (3), \quad 1.2 \cdot 10^{-4} \quad (4).$$

сталла CuCl размером $\bar{a} = 10.6$ нм при энергии фотона $E = \varepsilon_0$. Видно, что поглощение практически неизменно от комнатных температур вплоть до температуры плавления нанокристалла. Температура полуспада поглощения при плавлении равна $T_m = 615$ К. Для кристаллов меньшего размера $\bar{a} = 2.6$ нм наблюдается аналогичная температурная зависимость поглощения при $E = \varepsilon_0$. Соответствующая температура плавления $T_m = 515$ К. Для нанокристаллов с размером $\bar{a} = 10.6$ нм узловая точка находится при энергии $\varepsilon_0 = 3.242$ еВ (рис. 1), для нанокристаллов с размером $\bar{a} = 2.6$ нм величина $\varepsilon_0 = 3.282$ еВ (рис. 2).

Аналогичная узловая точка наблюдалась нами при исследовании температурной зависимости спектров фундаментального поглощения нанокристаллов CuBr в стекле и явно просматривается в кривых поглощения макрокристаллов CuBr при $E = 2.97$ еВ начиная с температур 140 и до 410 К [25].

На рис. 3 представлены зависимости положения максимумов E_m полос поглощения $Z_{1,2}$ - и Z_3 -экзитонов от температуры по данным рис. 1 и 2 и указаны коэффициенты температурного сдвига dE_m/dT для нанокристаллов двух размеров. Величина dE_m/dT для больших кристаллов ($\bar{a} = 10.6$ нм) близка к результатам экспериментов на монокристаллах ($\bar{a} = \infty$) [26]. У кристаллов меньшего размера этот коэффициент возрос для $Z_{1,2}$ -экзитона и несколько меньше возрос для Z_3 -экзитона.

Отметим, что полоса Z_3 -экзитона практически незаметна у нанокристаллов с $\bar{a} = 2.6$ нм начиная с $T = 323$ К (кривая 9 на рис. 2), а у нанокристаллов с $\bar{a} = 10.6$ нм — начиная с $T = 353$ К (кривая 10 на рис. 1).

2) Длинноволновый край поглощения нанокристаллов CuCl и правило Урбаха. На рис. 4 представлены экспериментальные результаты исследования температурной зависимости длинноволнового «хвоста» экзитонного поглощения для нанокристаллов CuCl со средним размером $\bar{a} = 5.2$ (кривые 2–7) и 2.0 нм (кривые 1'–4') на образцах толщиной 1.0 mm (размер нанокристалла определялся исходя из условий термообработки и данных [27]). Данные измерений представлены в координатах $\ln \alpha - E$, где α — коэф-

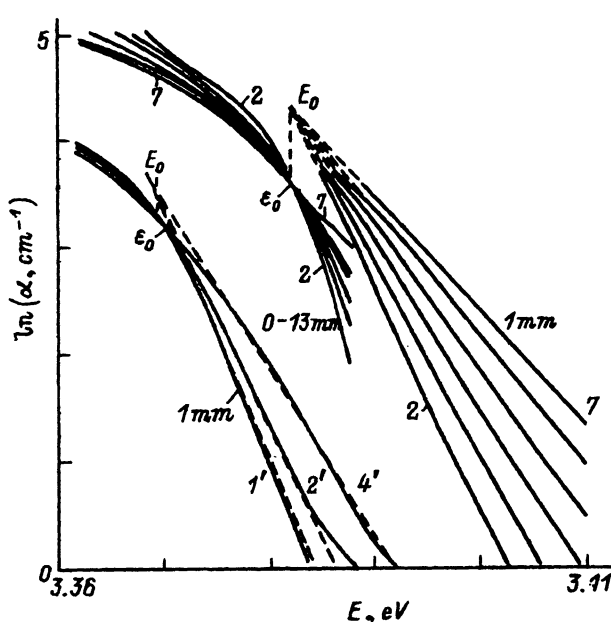


Рис. 4. Длинноволновый край поглощения CuCl в стекле с размером кристаллов $\bar{a} = 5.2$ (2-7) и 2.0 нм ($1'-4'$).

Толщина образцов стекла указана на рисунке T (К): 297 ($1'$), 327 ($2, 2'$), 357 (3), 387 ($4, 4'$), 413 (5), 443 (6), 473 (7). Точка, соответствующая значению энергии конвергенции E_0 , соединена вертикальной штриховой линией с положением соответствующей узловой точки ε_0 : $E_0 = \varepsilon_0$.

фактор поглощения, E — энергия фотона. Из этого рисунка видно, что $\ln \alpha$ на некотором интервале E линейно зависит от энергии фотона. Прямолинейные участки спектра для разных температур при их продолжении пересекаются в коротковолновой области в одной и той же точке³ с энергией E_0 (экстраполяция экспериментальных прямых $\ln \alpha - E$ показана на рис. 4 пунктиром). Эти результаты хорошо согласуются с правилом Урбаха [13, 20] и описываются соотношением

$$\alpha(E) = \alpha_0 \exp\left(-\sigma \frac{(E_0 - E)}{kT}\right), \quad (1)$$

где α_0 , σ и E_0 — константы конкретного кристалла. Наклон прямых с ростом температуры уменьшается, и его величина в соответствии с (1) равна σ/kT . Значения E_0 в точках пересечения экстраполированных прямых $\ln \alpha - E$ для нанокристаллов с размером $\bar{a} = 5.2$ и 2.0 нм соответственно равны 3.250 и 3.313 еВ.

На рис. 4 для сопоставления приведены спектры поглощения для нанокристаллов с $\bar{a} = 5.2$ нм, измеренные на образцах меньшей толщины 0.13 мм (кривые 2-7). Спектры измерены только в области узловой точки ε_0 и для тех же температур, что и на толстом образце (1.0 мм). Оказалось, что величина $E_0 = 3.250$ еВ, найденная по правилу Урбаха

³ Экстраполяция экспериментальных данных проводилась методом наименьших квадратов.

Таблица 1

Температурная зависимость константы σ
для кристаллов размером $\bar{a} = 5.2$ и 2.0 нм

\bar{a} , нм	T, K						
	295	323	353	383	413	443	473
5.2	-	1.16	1.09	1.03	0.97	0.90	0.86
2.0	1.21	1.15	-	1.04	-	-	-

на толстом образце (1.0 mm), совпадает с положением узловой точки ε_0 в спектрах поглощения тонкого образца (0.13 mm) с точностью 0.002 eV. В случае нанокристаллов меньшего размера с $\bar{a} = 2.0$ нм коэффициент поглощения меньше и узловая точка проявляется в спектрах поглощения толстого образца стекла. Положение узловой точки ε_0 также совпадает с энергией $E_0 = 3.313$ eV для этих нанокристаллов.

Наклон экспериментальных кривых на рис. 4 (константа σ) для кристаллов размером $\bar{a} = 5.2$ и 2.0 нм представлен в табл. 1. Величина σ практически одинакова для нанокристаллов обоих размеров и несколько уменьшается с ростом температуры. Выше 383 K кристаллы с размером $\bar{a} = 2.0$ нм плавятся и поэтому σ не может быть определена.

На рис. 5 представлена зависимость спектров поглощения нанокристаллов CuCl в области длинноволнового края от размера нанокристалла. Из наклона прямолинейных участков экспериментальных кривых $\ln \alpha - E$ была вычислена константа σ ($T = 383$ K) для размеров кристаллов от 1.6 до 10.0 nm.

\bar{a} , nm	10	8.5	3.4	2.2	2.0	1.7	1.6
σ	1.04	1.04	1.05	1.07	1.03	0.84	0.76

Уменьшение размера нанокристалла CuCl в стекле приводит к общему сдвигу длинноволнового края экситонного поглощения в сторону больших энергий в результате квантового размерного эффекта, однако параметр σ уменьшается незначительно. Заметное уменьшение σ наблюдается только для нанокристаллов размерами менее 2.2 nm.

2. Обсуждение результатов эксперимента

1) Параметры соотношения Урбаха для нанокристаллов CuCl в стекле и размерный эффект. Один из параметров в соотношении Урбаха (1) E_0 назван в теоретических работах «точкой конвергенции» [11,12,14], т.е. точкой с координатами $E = E_0$ и $\alpha = \alpha_0$, в которой изменяется знак в показателе экспоненты в (1). При энергии фотона $E < E_0$ коэффициент поглощения α растет с ростом температуры T , а при $E > E_0$ падает. В более поздней работе [13] эта особая точка в соотношении Урбаха E_0 интерпретируется как дно экситонной зоны. Обычно E_0 в ряде кристаллов близка к энергии резонансного поглощения E_m экситона при $T = 0$ [11,15] и ее величина может быть несколько больше или меньше E_m . Для локализующегося экситона $E_0 < E_m$, а для свободного экситона $E_0 > E_m$ [21].

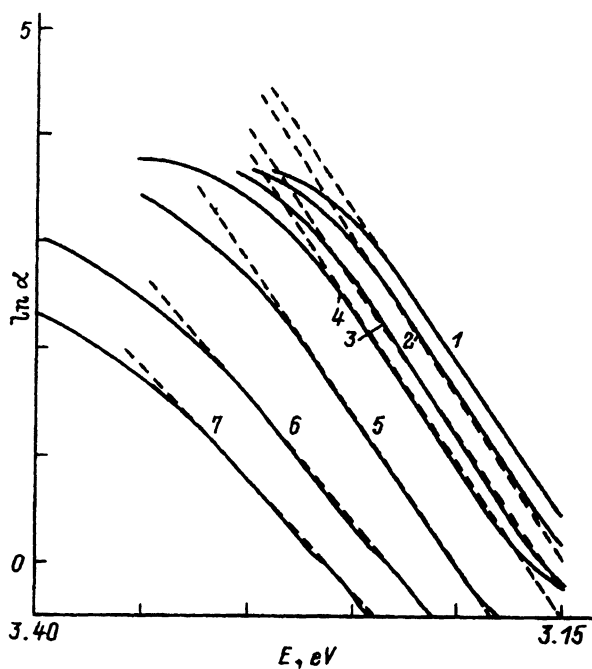


Рис. 5. Зависимость $\ln k - E$ длинноволнового края экситонного поглощения нанокристалла CuCl для разных \bar{a} . $T = 383 \text{ K}$.

Размер кристалла \bar{a} (нм): 10 (1), 8.5 (2), 3.4 (3), 2.2 (4), 2.0 (5), 1.7 (6), 1.6 (7). Толщина стекла 1 мм. Штриховые линии показывают наклон прямолинейного участка экспериментальных кривых, построенного методом наименьших квадратов.

По нашим данным (рис. 4), узловая точка ε_0 в температурной зависимости спектров поглощения нанокристаллов CuCl практически совпадает с энергией E_0 , найденной в соответствии с (1) из экспериментов по поглощению в области длинноволнового «хвоста». Совпадение величин ε_0 и E_0 , на наш взгляд, не случайно. В точке с энергией фотона $E = \varepsilon_0 = E_0$ кривая поглощения (рис. 1, 2, 4) обладает свойством конвергенции [11–15]. В связи с этим можно предположить, что узловая точка ε_0 , как и E_0 в правиле Урбаха, представляет собой фундаментальный параметр кристалла CuCl , соответствующий положению дна экситонной зоны в области высоких температур ($T > 300 \text{ K}$). Ослабление Z_3 -полосы при этих температурах в результате ЭФВ [25] позволяет предположить, что E_0 (или ε_0) определяет положение дна зоны $Z_{1,2}$ -экситона в нанокристаллах CuCl при высоких температурах.

Если рассматривать величину $E_0 = \varepsilon_0$ как энергетический уровень дна экситонной зоны, то его положение в нанокристаллах CuCl должно определяться квантовым размерным эффектом [1–3]. Тогда зависимость E_0 от размера нанокристалла будет определяться следующей формулой:

$$E_0 = E_g - E_{\text{ex}} + \frac{0.67\hbar^2\pi^2}{2m_{\text{ex}}\bar{a}^2}, \quad (2)$$

где E_g и E_{ex} — соответственно ширина запрещенной зоны и энергия связи экситона для макрокристалла ($\bar{a} = \infty$) CuCl. Тогда, по данным эксперимента (рис. 1, 2), можно определить эффективную массу m_{ex} и положение дна экситонной зоны $E_0 = E_g - E_{ex}$, относящиеся к $Z_{1,2}$ -экситону. Значения этих величин были определены в предположении независимости массы экситона m_{ex} от размера кристалла (в пределах указанных размеров). Нами было найдено, что $m_{ex} = 0.9m_0$ (m_0 — масса свободного электрона) и $E_g - E_{ex} = 3.239$ eV. Этот результат для положения дна (E_0) зоны $Z_{1,2}$ -экситона для $\bar{a} = \infty$ меньше энергии резонансного поглощения (E_m) для $Z_{1,2}$ -экситона, полученной при гелиевых температурах [1, 22], на величину 0.037 eV. Соотношение $E_0 < E_m$ свидетельствует об автолокализации $Z_{1,2}$ -экситона [21].

Второй параметр σ в правиле Урбаха связан с величиной ЭФВ [11, 15]. Если $\sigma > 1$, то в кристалле реализуются в основном свободные экситоны. При $\sigma < 1$ есть большая вероятность автолокализации экситона с рождением френкелевских дефектов [10]. Из наших экспериментов следует, что величина ЭФВ изменяется с уменьшением размера нанокристаллов CuCl незначительно, поэтому слабо меняется от размера кристалла и параметр dE/dT (рис. 3). Величина σ для нанокристаллов CuCl в стекле имеет порядок единицы и слабее зависит от размера кристалла, чем величина ε_0 . Изменения σ в меньшую сторону проявились в наших объектах только для размеров нанокристалла менее 2.0 nm.

2) Экситон-фоновое взаимодействие и форма полос экситонного поглощения. В литературе рассмотрены несколько возможных механизмов ЭФВ и его проявления в спектрах поглощения экситона в монокристаллах.

а) Случай линейного ЭФВ [11, 16–19]. При слабом ЭФВ (низкие температуры) полоса поглощения экситона имеет форму асимметричной кривой Лоренца [11, 19] с полушириной, зависящей от энергии E и температуры T . Центр тяжести полосы не зависит от температуры и соответствует дну экситонной зоны. Для экситонов с $m_{ex} > 0$ кривая поглощения асимметрична и вытянута в сторону больших энергий.

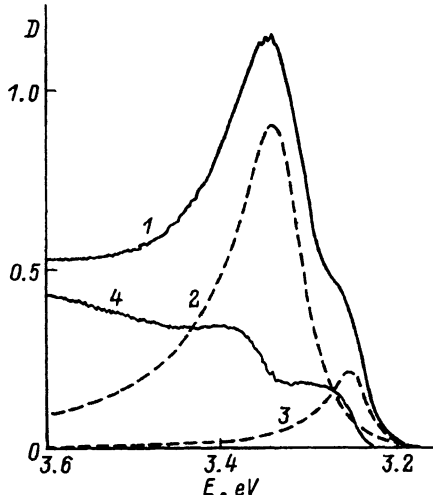


Рис. 6. Разложение экспериментальной кривой поглощения нанокристаллов CuCl на экситонное поглощение по формуле (1) и зона-зонное поглощение. $\bar{a} = 10.6$ nm, $T = 295$ K.

1 — эксперимент (кривая 8 на рис. 1, а), 2 — полоса $Z_{1,2}$ -экситона, 3 — полоса Z_3 -экситона, 4 — зона-зонное поглощение (кривая 1 за вычетом кривых 2 и 3).

Вследствие этого максимум полосы поглощения должен смещаться с ростом температуры в сторону меньших энергий [11, 16]. При высоких температурах и сильном ЭФВ полоса поглощения экситона становится симметричной и имеет форму кривой Гаусса [12, 19].

б) Случай квадратичного ЭФВ [16, 17, 19]. Полоса экситонного поглощения при низких температурах имеет форму кривой Лоренца. Однако центр тяжести полосы (дно экситонной зоны), как и ее максимум, с ростом температуры сдвигается в сторону больших энергий.

Так как полосы экситонного поглощения в случае нанокристаллов CuCl в стекле с ростом температуры сдвигаются в сторону больших энергий (рис. 1–3), а форма полосы близка к форме кривой Лоренца с асимметрией в сторону больших энергий, можно предположить реализацию в этих кристаллах квадратичного взаимодействия экситонов с фононами и слабое ЭФВ. На рис. 6 представлены результаты расчета спектров экситонного поглощения $D(E)$ для нанокристаллов CuCl на основе предположения о близости формы полос экситонного поглощения к кривой Лоренца [12]

$$D(E) = \frac{D_0}{\pi} \frac{\Gamma}{(E - E_m)^2 + \Gamma^2}, \quad (3)$$

где D_0 — величина поглощения экситона в максимуме экситонной полосы, а E_m характеризует положение экситонного уровня, определяемое ЭФВ [19]. Полуширина полосы Γ в этом случае зависит от энергии E , так как она пропорциональна плотности состояний в экситонной зоне [12]; Γ также зависит и от T вследствие ЭФВ [18, 19].

Расчетные спектры (кривые 2, 3 на рис. 6), полученные для $Z_{1,2}$ - и Z_3 -экситона по формуле (3), наиболее близко согласуются с экспериментальными результатами (кривая 1), если зависимость Γ от E представить в виде

$$\Gamma(E) = 2\Gamma_0 \frac{1}{\exp\left(A \frac{(E - E_m)}{kT}\right) + 1}, \quad (4)$$

где Γ_0 и A — параметры расчета.

Параметры полос поглощения $Z_{1,2}$ - и Z_3 -экситонов были получены из расчетных кривых, соответствующих разложению экспериментальной кривой 8 (295 К) из рис. 1, представлены в табл. 2. Разложение спектров считалось удовлетворительным, если на разностной кривой 4 на рис. 6 (исходные данные (кривая 1) за вычетом расчетных полос поглощения $Z_{1,2}$ - и Z_3 -экситонов (кривая 2 и 3)), представляющей собой поглощение зона–зона, нет максимумов или минимумов.

Как видно из рис. 6 (кривая 4), на краю поглощения зона–зона наблюдаются две ступеньки, связанные с переходами из различных подзон расщепленной валентной зоны кристалла CuCl [1, 22]. Из результата

Таблица 2

Параметры расчета по формуле (3) полос поглощения $Z_{1,2}$ - и Z_3 -экситонов для $T = 295$ К

$Z_{1,2}$				Z_3			
D_0	E_m , eV	Γ_0 , eV	A	D_0	E_m , eV	Γ_0 , eV	A
0.155	3.351	0.052	0.55	0.018	3.260	0.033	0.8

разложения экспериментальной кривой 1 видно, что вклад Z_3 -экситона в поглощение CuCl при комнатной температуре значителен. Отсюда следует, что узловая точка с энергией ε_0 может иметь место при этих температурах, только если изменение силы осциллятора переходов Z_3 -экситона из-за ЭФВ [25] будет испытывать насыщение. Это вполне возможно, так как насыщение в температурном сдвиге положения E_m для Z_3 -экситона, также определяемое ЭФВ, явно заметно при этих температурах (рис. 3).

Предложенная нами аналитическая формула (4) для описания зависимости $\Gamma(E)$ от энергии представляет собой «размытую» ступеньку, по-видимому, отражающую распределение плотности состояний. Такой же зависимостью описывается край поглощения некоторых полупроводников [21].

Список литературы

- [1] Екимов А.И., Онущенко А.А. // Письма в ЖЭТФ. 1984. Т. 40. № 8. С. 337–340.
- [2] Екимов А.И., Онущенко А.А., Плюхин А.Г. и др. // ЖЭТФ. 1985. Т. 88. № 4. С. 1490–1501.
- [3] Ekimov A.I. // Phys. Scripta. 1991. V. T39. P. 217–272.
- [4] Голубков В.В., Цехомский В.А. // Физика и химия стекла. 1982. Т. 8. № 4. С. 416–421.
- [5] Валова П.М., Грачева Л.В., Лейман В.И. и др. // Физика и химия стекла. 1993. Т. 19. № 4. С. 586–592, 578–585.
- [6] Цехомский В.А. // Физика и химия стекла. 1978. Т. 4. № 1. С. 3–17.
- [7] Ашкадунин А.Л., Валов П.М., Лейман В.И. и др. // Физика и химия стекла. 1984. Т. 10. № 3. С. 325–331.
- [8] Глебов Л.Б., Никоноров Н.В., Петровский Г.Т. // ДАН СССР. 1985. Т. 280. № 5. С. 1110–1114.
- [9] Бабукова М.В., Глебов Л.Б., Никоноров Н.В. и др. // Физика и химия стекла. 1986. Т. 12. № 4. С. 434–438.
- [10] Лущик Ч.Б., Лущик А.Ч. Распад электронных возбуждений с образованием дефектов в твердых телах. М.: Наука, 1989. 263 с.
- [11] Sumi H., Toyozava Y. // J. Phys. Soc. Jpn. 1971. V. 31. N 2. P. 342–358.
- [12] Schreiber M., Toyozava Y. // J. Phys. Soc. Jpn. 1982. V. 51. N 56. P. 1528–1550.
- [13] Sumi H., Sumi A. // J. Phys. Soc. Jpn. 1987. V. 56. N 6. P. 2211–2220.
- [14] Гельмонт Б.Л., Перель В.И., Яссевич И.Н. // ФТТ. 1983. Т. 25. № 3. С. 727–733.
- [15] Хижняков В.В., Шерман А.В. // Труды ИФ Эстонии (Тарту). 1989. № 63. С. 61–69.
- [16] Низович Б.М., Пестряков Г.М., Блонский И.В. // ФТТ. 1981. Т. 23. № 11. С. 3252–3255.
- [17] Низович Б.М., Фаленчук В.Д. // УФЖ. 1976. Т. 21. № 5. С. 904–910.
- [18] Давыдов А.С. Теория твердого тела. М.: Наука, 1976. 640 с.
- [19] Агранович В.М. Теория экситонов. М.: Наука, 1968. 384 с.
- [20] Urbach F. // Phys. Rev. 1953. V. 92. N 1. P. 1324.
- [21] Kurik M.V. // Phys. Stat. Sol. (a). 1971. V. 8. N 9. P. 9–45.
- [22] Cardona M. // Phys. Rev. 1963. V. 129. N 1. P. 69–78.
- [23] Ueta M., Goto T. // J. Phys. Soc. Jpn. 1965. V. 20. N 3. P. 401–411.
- [24] Страшникова М.И., Рудчик А.Т. // ФТТ. 1972. Т. 14. № 4. С. 984–988.
- [25] Бедикян Л.Д., Милославский В.К., Агеев Л.А. // Опт. и спектр. 1980. Т. 49. № 2. С. 310–316.
- [26] Милославский В.К., Юнакова О.Н. // Опт. и спектр. 1984. Т. 57. № 1. С. 85–90.
- [27] Голубков В.В., Екимов А.И., Онущенко А.А. // Физика и химия стекла. 1981. Т. 7. № 4. С. 397–401.